



ΠΑΝΑΓΙΑ ΜΑΡΜΑΡΙΩΤΙΣΣΑ

Μελέτη διάβρωσης και προστασίας για το παρεκκλήσιο του Κάτω Χαλανδρίου, πρώην ρωμαϊκό μαυσωλείο

Πίσω από το ιερό του μεγάλου σύγχρονου ναού της Παναγίας Μαρμαριώτισσας στο Κάτω Χαλάνδρι βρίσκεται το παρεκκλήσι της Παναγίας. Το κτίσμα αυτό, πριν μετατραπεί, σε άγνωστη χρονική περίοδο, σε εκκλησία, υπήρξε ρωμαϊκό μαυσωλείο.

Κατά τη Ρωμαϊκή εποχή η Φλύα, το σημερινό Χαλάνδρι, υπήρξε ένας από τους «μικρούς» λεγόμενους δήμους της Αττικής, τους οποίους ο περιηγητής Παυσανίας ξεχωρίζει από τους «μεγάλους» δήμους των Αθηνών, της Ελευσίνας κ.λπ.

Φαίνεται πως η οικονομία και η διοίκηση της περιοχής εξαρτιόταν κυρίως από μεγάλες και ισχυρές οικογένειες, εντοπίως ή ρωμαίων, οι οποίες κατασκεύαζαν επιβλητικά μαυσωλεία για οικογενειακούς ή ατομικούς τάφους. Ένα τέτοιο μαυσωλείο ήταν και ο μικρός ναός της Παναγίας Μαρμαριώτισσας.

Βασίλειος Λαμπρόπουλος

Χημεικός Μηχανικός Ε.Μ.Π.

Καθηγ. Εφαρμογών του Τμήμα. Συντήρησης Αρχαιοτήτων της Σχολ. Γραφ. Τεχνών και Καλλιτ. Σπουδών του Τ.Ε.Ι. Αθήνας

Αναστασία Πάνου και Χριστίνα Παναγουλοπούλου

Συντηρήτριες του Τμήμα. Συντήρησης Αρχαιοτήτων της Σχολ. Γραφ. Τεχνών και Καλλιτ. Σπουδών του Τ.Ε.Ι. Αθήνας

Σκοπός της εργασίας αυτής ήταν αφ' ενός να εντοπισθούν και να μελετηθούν τα προβλήματα που παρουσιάζονται στα δομικά υλικά του μνημείου και αφ' ετέρου να γίνει γνωστή η ύπαρξη του μνημείου, με την ελπίδα να ξεκινήσει μια σειρά εργασιών με σκοπό τη συντήρηση, διάσωση και σωστή προβολή του. Το αντικείμενο της μελέτης επικεντρώθηκε στα βασικά δομικά υλικά του μνημείου.

Το μνημείο είναι κατασκευασμένο από ογκόλιθους πεντελικού μαρμάρου, που του έδωσαν και το επίθετο «Μαρμαράποστα». Έχει συνολικό ύψος 4,5 μ., από τα οποία τα 2,5 μ. είναι κάτω από την επιφάνεια της γης. Οι εξώτερικές διαστάσεις τού χρειάζονται σε κάτιμη μαυσωλείου είναι 5,80x5,50 μ., ενώ οι εσωτερικές 4,5x4,15 μ. Το έδαφος είναι στρωμένο με πλάκες, που πιστεύεται πως προέρχονται από τις σαρκοφάγους οι οποίες είχαν βρεθεί και χρησιμοποιήθηκαν από τους χριστιανούς στο αρχαίο κτίσμα.

Το μνημείο εκτείνεται από ΝΑ προς ΒΔ. Αποτελείται από έναν θολωτό θάλαμο, που είναι μισοθαμμένος στη γη, και από το λεγόμενο «πάνω κτίσμα», που υπερέχει. Στην τομή παραπτερίται πως η καμάρα αποτελείται από θολίτες, ενώ στην πιο πολαί πάνω πλευρά τους, που φυσικά τώρα δεν φαίνεται, είναι ασφρά κατεργασμένοι. Στην τομή κατά μήκος παραπτερίται ότι στο μέσον των μακρών πλευρών υπάρχουν φωτιστικές θυρίδες-«ανοίγματα». Στις εσωτερικές πλευρές των πάνω λίθων του τοίχου και προς τις δύο μεριές του θόλου απεικονίζονται, όπως είδε ο H. Schleit, μέσα σε ίχνη διάβρωσης, δύο τόξα. Ισχώ να ήταν δύο λεπτά ανακουφιστικά τόξα από πλίνθους που βρισκόντουσαν ανάμεσα στο θόλο και στον τοίχο και που βοηθούσαν να στηρίζεται το συμπληρωμένο «πάνω κτίσμα». Η εισόδος στο νεκρικό θάλαμο πρέπει να βρισκόταν ανατολικά.

Κατά την μετασκευή του σε εκκλησία, κατασκευάστηκε πάνω στις σκάλες η αιμίδα. Γκρεμίστηκε νέα μέρος του δυτικού τοίχου, απομακρύνοντας δύο κομμάτια από το υπόβαθρο και τοποθετώντας τα σαν παραστάτες της πόρτας. Πάνω σ' αυτά τοποθετή-

θηκαν ιωνικά κιονόκρανα από πορώδη ασβεστόλιθο, για να σχηματιστεί το κενό της εισόδου. Οι σκάλες που οδηγούν κάτω από την πόρτα ανήκουν σε νεότερη φάση του μνημείου, καθώς και το τόξο που στο άνοιγμά του κρεμόταν η καμπάνα.

Τέτοιου είδους μνημεία, που θεωρούνται ως «ηρωά» πλούσιων γαιοκτήμονων του 2ου μ.χ. αι., έχουν βρεθεί μόνο δύο σε όλη την Αττική, από τα οποία τα δεύτερα βρίσκεται στην Κηφισιά (στην Πλάταινα Πλατάνων), η οποία υπήρχε επίσης πλούσιο πρόσωπο και κατά τη Ρωμαϊκή περίοδο.

Υπάρχουν δύο εκδοχές για τον προορισμό και την κατασκευή του ταφικού μνημείου. Η πρώτη εκδοχή είναι ότι τόσο το μαυσωλείο της Κηφισιάς όσο και του Χαλανδρίου κατασκευάστηκαν από τον Ηρώδη τον Αττικό προς τιμήν πεθαμένων συγγενών του ή αγαπημένων του προσώπων. Σ' αυτό το συμπέρασμα οδήγει η ομοιότητα του μαυσωλείου αυτού με το μαυσωλείο της Κηφισιάς, που φτάνει έως και τις διαστάσεις των τετράγωνων λίθων του θόλου, ενώ, με τη σειρά του, το μαυσωλείο της Κηφισιάς θυμίζει κατασκευή του Ηρώδου του Αττικού, σύμφωνα με περιγραφή του Π. Ευστρατιάδη. Η άλλη εκδοχή είναι ότι το μαυσωλείο ανήκε σε κάποιου μέλους της οικογένειας των Λουκαμίδων (ιερέων της Ρέας Κυβέλης που ανήκαν στην Κεκροπίδα φυλή), ή ήταν κάποιο κοινό μήτρη όλου του γένους τους.

Από τις μεταγενέστερες φάσεις του μνημείου, η μόνη που χρονολογείται με σχετική ακρίβεια είναι η αιγυράφηση του, η οποία χρονολογείται στα τέλη του 17ου - αρχές του 18ου αι. Οι αιγυραφίες, που καταλαμβάνουν όλο το εσωτερικό του, είναι προγενέστερες του 1716. Τη χρονολογία αυτή έχει χαρέσει άγνωστο χερι πάνω από την εκίνων του Αρχάγγελου Μιχαήλ, η οποία βρίσκεται στο ιερό του ναού.

Εξέταση - Έρευνα

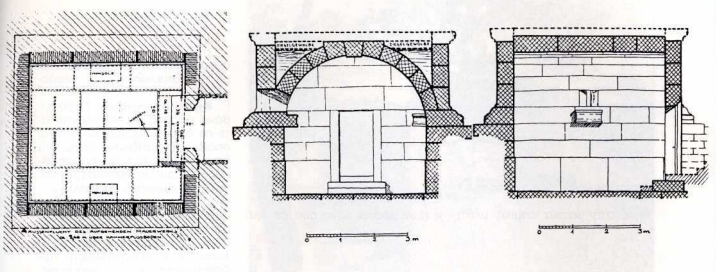
Το πρώτο βήμα της έρευνας ήταν η έξέταση της περιοχής σχετικά

με τη ρύπανση της απόμονωρας. Αυτό θα βοηθήσει να κατανοθούν καλύτερα τα είδη διάβρωσης που θα συναντήσουμε στα δομικά υλικά του μνημείου. Από τα πρώτα κιόλας στάδια της έρευνας παρατηρήθηκε ότι η περιοχή του Χαλανδρίου δεν έχει βιομηχανίες που ρυπαίνουν ιδιαίτερα την ατμόσφαιρα. Υπάρχουν δύο ψαρικάς βιομηχανίες και μία ειδών διατροφής, σε αντιθέση με τους γύρω δήμους, στους οποίους έχουμε διαφόρων ειδών βιομηχανίες. Επάντια στην Κηφισιά όσο και στο Μαρούσι, Ηράκλειο, Μεταμόρφωση, Λυκόβρυση, Γαλάτα, λειτουργούν ρυπογόνες βιομηχανίες. Στις περιοχές αυτές υπάρχουν χημικές βιομηχανίες, βιομηχανίες τελικών προϊόντων από μεταλλά, βιομηχανίες δέρματος και γουναρικών, κ.ά. (στοιχεία από σχετικούς πίνακες του Π.Ε.Ρ.Π.Α.), των οποίων όμως οι ρύποι μεταφέρονται έως την περιοχή του Χαλανδρίου. Σ' αυτό το συμπέρασμα καταλήξαμε έπειτα από διαπίστωση πως οι άνεμοι που επικρατούν γενικά στο νομό Αττικής είναι περισσότερο βορειοδυτικοί. Το αποτέλεσμα είναι να έχουμε μεταφορά ρύπων από τη βορειότερα διαμερίσματα προς τα νοτιότερα και επικάθιτων αυτών στις χαμηλότερες υψημετρικές περιοχές. Αυτό συμβαίνει επειδή οι ρύποι δεν μπαρούν εύκολα να απομακρύνονται με τις μετακινήσεις του ανέμου, ο οποίος περνάει σε υψηλότερα επίπεδα, αλλά και λόγω του φαινομένου της θερμοκρασιακής αναστροφής, σύμφωνα με το οποίο εγκλωβίζονται οι ατμοσφαιρικοί ρύποι στο έδαφος.

Η περιοχή του Χαλανδρίου βρίσκεται σε γεωγραφικά χαμηλότερα επίπεδα από τις γύρω περιοχές, με αποτέλεσμα να ρύποι των βιομηχανιών τους να επιδρούν στο μνημείο. Αξιοσημείωτο δε είναι ότι η μαρμάρινη τοιχοποιία της βόρειας πλευράς έχει εντονότερη διάβρωση από δύο ή αντίστοιχη της νότιας πλευράς.

Δεύτερο βήμα της έρευνας, μας ήταν η ανάλυση των πετρωμάτων και των κονιάματων από τα οποία αποτελείται το μνημείο.

Τα δομικά υλικά που ερευνήθηκαν ήταν τα ακόλουθα: μάρμαρο, τούφα, κεραμίδια, κονιάματα και πιωρολιθικές πλέτρες.



Από ιστορικές μαρτυρίες μαθαίνουμε πώς το μάρμαρο είναι πεντελικό, ενώ και η γεωγραφική τοποθέτηση της περιοχής κοντά στην Πεντέλη οδηγεί στο ίδιο συμπέρασμα.

Για την πιστοποίηση αυτών των μαρτυριών προχωρήσαμε σε ανάλυση του μαρμάρου με την μέθοδο της περιβλασμετρίας ακτίνων X (X.R.D.=X Ray Diffraction), με την οποία ταυτοποιούμε τις χημικές συστασίες σύμφωνα με τη μικροκρυσταλλογραφική δύνη τους. Τα περιβλασματηρία, στα οποία καταγράφεται η ένταση της περιθλάμωντης ακτίνων λαζ, X, ταυτοποιούν τη μικροκρυσταλλογραφική δύνη τους. Τα περιβλασματηρία, στα οποία καταγράφεται η ένταση της περιθλάμωντης ακτίνων λαζ, X, ταυτοποιούν τη μικροκρυσταλλογραφική δύνη τους. Η ανάλυση έδειξε έντονη παρουσία ασβεστίτη, ενδεικτικού του πεντελικού μαρμάρου, και επίσης χλωρίτη, σερκίτη, δολομίτη και άστριους. Η ανάλυση όμως με φασιτοσκοπία E.S.R. (Electron Spin Resonance) είναι εκείνη η οποία μπορεί να πιστοποιηθεί την ταυτότητα του μαρμάρου. Η μέθοδος βασίζεται στην εύρεση κορυφών που χαρακτηρίζουν ποιοτικά και ποσοτικά το υλικό, και στην περίπτωση του μαρμάρου ανιχνεύουν οι χαρακτηριστικούς κορυφές του ίστος Mn⁺⁺. Το φάσμα που προδύκει από την ανάλυση είναι το χαρακτηριστικό φάσμα του πεντελικού μαρμάρου.

Αναλύσεις X.R.D. έγιναν στον πωρόλιθο και στα κονιάματα, τα οποία ήταν δύο ειδών. Τα αποτελέσματα για τον πωρόλιθο έδειξαν πώς το πρόκειται πιθανόν για τραβερτίνη.

Σημειώνεται στην προηγύμιθη στοιχεώδης χημική ανάλυση του πετρώματος με διάλυμα υδροχλωρικού οξείου (HCl) 5% κ.δ. καϊδίς, και με διάλυμα οξικού οξέος (CH₃COOH) 5% κ.δ. (κατ' Όγκο), η οποία είναι αναγκαῖη για τον χαρακτηρισμό του πετρώματος. Η ανάλυση έδειξε ότι πρόκειται για ασβεστικό πέτρωμα.

Το κονίαμα της εξωτερικής τοιχοποιίας βρέθηκε ότι είναι ασβε-

στοκονίαμα, δηλαδή παραδοσιακό κονίαμα ασβεστή και χαλαζικής άμμου, ενώ το κονίαμα που καλύπτει την οροφή και την πίσω πλευρά είναι ταιμεντοκονίαμα. Στην περίπτωση αυτή η ανάλυση έδειξε παρουσία ασβεστίτη, προφανώς από τον ασβέστη ή τις ασβεστιπικές προσμείξεις που περιέχει το τσιμέντο, και χαλαζία, από τη χαλαζική άμμο.

Φθορές

Η θεωρία της φθοράς από διάφορους παράγοντες του περιβάλλοντος καλύπτει τρεις κατηγορίες υλικών στην περίπτωση του μνημείου:

— Τα φυσικά ή τεχνητά πορώδη υλικά, όπως ο λίθος, τα κονιάματα και τα τούβλα, που διάφερουν μεταξύ τους ως προς το πορώδες.

— Τα μέταλλα, γενικά, στα οποία η φθορά παρουσιάζεται με τη μορφή της οξειδώσης.

— Το ξύλο, όπου η φθορά προκαλείται κατά κύριο λόγο από μικροργανισμούς.

Στη συγκεκριμένη μνημείο συναντώνται και οι τρεις κατηγορίες υλικών: Τα σιδερένια στοιχεία που παρατρήθηκαν ήταν σφήνες τοποθετημένες μέσα στο μαρμάρο ή στο κονίαμα. Ξύλο οώσται στο πάνω μέρος της εισόδου του μνημείου.

Οι φθορές στα πορώδη υλικά προκαλούνται από τις ακόλουθες αιτίες:

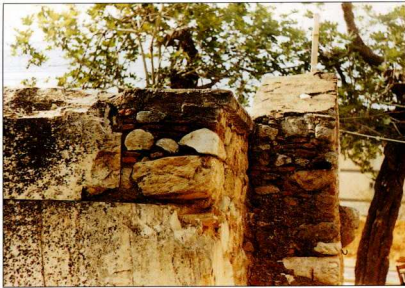
- από τη διείσδυση του νερού;
- από τη μηχανική καταπόνηση;
- από τη χημική αποσύνθεση;
- από τη βιολογική επιδραση.

Α. Φθορά της πέτρας από την επίδραση του νερού: Εργαστηριακές μελέτες έχουν αποδείξει ότι οι περισσότερες φυσικές ή χημικές μεταβολές στη δομή της πέτρας έχουν ως κύριο αίτιο τους την παρουσία του νερού.

Το νερό μπορεί να εισχωρήσει μέσα στην πέτρα με την τριχοειδή αναρρίχηση από το έδαφος, με τη συμπύκνωση των υδρατμών της ατμόσφαιρας και με τη διεισδύση του νερού της βροχής. Σε όλα τα πορώδη υλικά το νερό, είτε σε υγρή κατάσταση είτε σε κατάσταση υδρατμών, μπορεί να εισχωρήσει στο εσωτερικό τους μέσω των πόρων, και επομένως το πορώδες ενώς υλικόν είναι σημαντικός παράγοντας για τη διάβρωση του. Το νερό επιδρά στα πέτρινα υλικά με τα φαινόμενα της «θεξτροπίας» και της «ιονεναλλακτικής εξαλλοίωσης».

Κατά το πρώτο φαινόμενο, ο αργολιπαριτικός προσμείξεις του υλικού διογκώνονται κατά την υγρασην και μετατρέπονται σε λεπτή σκόνη κατά την έρημαση. Κατά το δεύτερο φαινόμενο, ίστα υδρογόνου του νερού αντικαθιστούν ιώντα αλκαλίων, καλίου και νατρίου, στο πλέγμα των αργιλών, με αποτέλεσμα την αλλαγή της στοιχειομετρίας του πλέγματος εξαιτίας του μικρότερου μοριακού όγκου του υδρογόνου σε σχέση με τον αντίστοιχο μοριακό όγκο των αλκαλίων. Επίσης το νερό επιδρά στα πορώδη υλικά με το φαινόμενο του παγετού, όπου κατά τη μεταβολή του νερού στο γάγο απαντύσουνται μηχανικές τάσεις στους πόρους, με αποτέλεσμα την αποδιοργάνωση του υλικού.

Τέτοια υλικά πορώδη και υδρόφιλα απαντώνται στο μνημείο. Οι υπάρχουσες μαρμάρινες τοιχοποιίες που αποτελούν τους δύο πλαγιούς τοίχους, το ταιμεντοκονίαμα που καλύπτει το πίσω μέ-



ρος της ανωδομής και η πλινθοδομή που αποτελεί το μπροστινό μέρος του μνημείου. Εδώ είναι εμφανή τα αποτελέσματα της δράσης του νερού με την αποσάθρωση του κονιάματος καθώς και των πλίνθων κατων τραβερτίνων που βρίσκονται κατά τόπους στη λιθοδομή. Στις μαρμάρινες τοιχοποιίες έχουμε δεισιδιότη του νερού τόσο από νερά του άδαφους, με την τριχοειδή αναρρίχηση, όσο και από τις ρωμές που υπάρχουν στην επιφάνεια τους. Τα αποτελέσματα της δεισιδιότης αυτής διαπιστώνονται κατά τοιχογραφίες που βρίσκονται στην εσωτερική πλευρά του μνημείου. Το ταψεντοκονίαμα είναι πόλεις έλξης του νερού με τη βοήθεια του οποίου έχουμε δεισιδιότη των διαλυτών αλάτων, που έχουν ως πηγή το ταψέντο, στα γύρω υλικά.

Το φαινόμενο της συμπύκνωσης υδρατών δεν πρέπει να συμβαίνει στο εσωτερικό του μνημείου, αφού σ' αυτό δεν παρατηρήθηκαν έντονες θερμοκρασιακές μεταβολές.

Συμπύκνωση των υδρατών μπορεί να συμβεί σε ένα περιβάλλον με υψηλή περιεκτικότητα σε υδρατόμος, είτε με μείωση της θερμοκρασίας είτε με αύξηση της ποσότητας των υδρατών ώστε να ξεπεράσουν το σημείο κορεσμού. Το αποτέλεσμα είναι η μετατροπή των υδρατών, που υπάρχουν στην απόσμαφρα, από την αέρια φάση στην υγρή με τη μείωση της θερμοκρασίας, και επικαθίστη τους υπό μορφή σταγόνων επάνω στα δομικά υλικά του μνημείου.

Συμπύκνωση των υδρατών στις εξωτερικές επιφάνειες του μνημείου αναμένεται να συμβαίνει, εφόσον οι ημερή-

σιες θερμοκρασιακές μεταβολές είναι έντονες. Αυτό προκύπτει από κλιματολογικά στοιχεία που συλλέγονται για τη θερμοκρασία και τη σχετική υγρασία της απόσμαφρας του Χαλανδρίου.

Από τα στοιχεία αυτά προκύπτει επίσης ότι παγετώς πληττεί το άμεσο περιβάλλον του μνημείου αρκετές ημέρες του χειμώνα.

Β. Μηχανικές καταπονήσεις: Οι μηχανικές καταπονήσεις προκαλούν μικρορρωγής, με αποτέλεσμα η φθορά να συνίσταται είτε σε μείωση της αντοχής του υλικού είτε στη διεύδυνση νερού μέσω των ρωγμών. Καταπονήσεις από το ίδιο το βάρος του μνημείου δεν παρατηρήθηκαν. Οι ανθρώπινες δραστηριότητες περιορίζονται στους αραιούς επισκέπτες του χώρου. Σημειώνεται ωστόσο πως δεν τελούνται πατειρουργίες.

Ο σχηματισμός ρωγμών και η αποκόλληση θραυσμάτων στις μαρμάρινες τοιχοποιίες φεύγονται στη σε θερμοκρασιακές μεταβολές (ημερήσιες - ετήσιες) καθώς και στην επιδράση παγετών.

Από στοιχεία που συγκεντρώθηκαν από την E.M.Y. διαπιστώθηκε ότι στην περιοχή του Χαλανδρίου η θερμοκρασία του χειμώνα πέφτει συχνά κάτω από τους 0°C κατά τη νύχτα.

Στο ταψεντοκονίαμα που καλύπτει την πιο πλευρά παρατηρείται μια εγκάρια τομή, που το χωρίζει σε δύο μέρη. Αυτό οδηγεί στο συμπέρασμα ότι τα ταψεντοκονίαμά χυτεύθηκαν σε διαφορετικές φάσεις και με διαφορετική σύσταση. Τούτο είχε ως αποτέλεσμα τον διαφορετικό θερμικό συντελεστή διαστολής συστολής τους, έτσι ώστε να

συμπεριφέρονται διαφορετικά στις αιχμομεώσεις της θερμοκρασίας.

Γ. Χημική αποσύνθεση: Περιλαμβάνει φθορές που οφείλονται είτε σε δράση χημικών ουσιών, οι οποίες σχηματίζονται πάνω στα δομικά υλικά, είτε σε χημικές αλλαγές που συντελούνται στο άμεσο διαβρωτικό περιβάλλον.

Όσον αφορά τους πορώδες ασβετοκύαλιθους και τα κονιάματα, παραπρείται αποσάθρωση και ψρυμματισμός που οφείλεται στην κρυστάλλωση των διαλυτών αλάτων τα οποία περιέχονται στο νερό και εισχωρούν στους πόρους από το έδαφος. Επίσης πηγές διαλυτών αλάτων αποτελούν τα διάφορα κονιάματα (π.χ. ταπιέντο).

Η φθορά από επιδράση χημικών ουσιών επικεντρώνεται στην προσβολή από την ζένη βροχής και στη σχηματισμό γύψου. από την προσβολή δηλαδή του διοξειδίου του θείου (SO_2) της ατμόσφαιρας στο ανθρακικό ασβέστιο, από το οποίο κυρίως αποτελείται το μάρμαρο, με αποτέλεσμα να χάνονται οι αρχιτεκτονικές λεπτομέρειες.

Οι αναλύσεις με χλωριούχο βάριο ($BaCl_2$) και ροδιζονικό νάτριο δεν ανίχνευσαν γύψο. Αυτό όμως δεν σημαίνει ότι δεν συμβαίνει το φαινόμενο της γυψοποίησης στην επιφάνεια του μαρμάρου, αλλά ότι ο νεοσχηματιζόμενος γύψος απομακρύνεται με τη βροχή. Εκλεκτικά στο διάφορες περιοχές σχηματίζεται μαύρη κρούστα. Η αναφορά στα διαλυτά αλάτα αρχίζει από τις πηγές προέλευσής τους. Τα υπόγεια νερά, που είχαν παρατηρηθεί στο παρελθόν, και τριφοδοτούσαν με διαλυτά αλάτα την τοιχοποιία, αποστραγγίστηκαν. Τα διαλυτά αλάτα είναι εμφανή τόσο στις τοιχογραφίες, σαν εξανθήσεις, όσο και στα μάρμαρα, όπου έχουν σχηματιστεί κρούστες. Η ανάλυση δειγμάτων έδειξε ότι οι κρούστες περιέχουν διαλυτά αλλά και αδιαλύτα (ανθρακικά) αλάτα. Το ταψεντοκονίαμα ωστόσο είναι στηλαντική πηγή διαλυτών θειικών, ανθρακικών και πυριτικών αλάτων, που προκαλούν φθορές στα υλικά με τα οποία έρχεται σε επαφή.

Κηλίδες σκουριάς παρατηρούνται σε περιοχές που υπάρχουν



οι σιδηρένιες σφήνες. Οι κηλίδες σχηματίσθηκαν από τη συνεχή έκπλωση της σκουριάς του σιδήρου από το νερό της βροχής και τον εμποτισμό των πλησιέστερων πέτρινων υλικών.

Δ. Βιολογική επίδραση: Στο μνημείο έχουν αναπτυχθεί λειχήνες και άλλες βιολογικές συμβιώσεις, που καλύπτουν κατά τόπους τις μαρμάρινες ισσοδομές με διαβρωτική δράση, λόγω της παραγωγής οξειδικού οξέος, με αρνητικά αισθητικά αποτελέσματα. Οι επικαλύψεις αυτές παρουσιάζονται σαν κηλίδες χρώματος λευκού, το οποίο οφειλεται στην παραγωγή του οξειδικού ασβέστιου, που σχηματίζεται από την αντιδραση του οξειδικού οξέος με το ανθρακικό ασβέστιο του υλικού.

Παλαιότερες επεμβάσεις

Από την Εφορεία Βυζαντινών Αρχαιοτήτων Α' περιφέρειας, και συγκεκριμένα από το φύλο συντήρησης του μνημείου, προκύπτει ότι έχουν γίνει εργασίες αποστράγγισης των βρόχινων νεφρών από το μνημείο.

Στο πλαίσιο αυτού του σχεδίου έχουν γίνει οι εξής εργασίες:

— Αφαιρέθηκε το «γκρο-μπετό» δάπεδο και στη θέση του τοποθετήθηκαν μαρμάρινες πλάκες σε στέρεο υπόστρωμα από λίθους.

— Το επίπεδο της πλακόστρωσης υπεριψώθηκε ώστε τα βρόχινα νεφρά να διοχετεύονται από αυλάκι σε στεγανό φρέατο βάθους 4 μ. και διαμέτρου 2 μ., που βρίσκεται σε απόσταση 7 μ. από το μνημείο. Η πλακόστρωση προστατεύθηκε με τοιχάρια που κατασκευάστηκαν

κατά μήκος των μακριών πλευρών της.

— Ανακατασκευάστηκε η δυτική πόρτα (είσοδος) με κλίμακα από μαρμάρινες βαθμίδες. Οι βαθμίδες αυτές τοποθετήθηκαν εκατέρωθεν του τομεντένιου τοίχου, που επενδύθηκε με λιθόδομη. Η

στεγανότητα της κλίμακας επιτεύχθηκε με φρεάτιο στο ύψος της χαμηλότερης κλίμακας και της πιο κατάλληλης.

— Παράλληλα με αυτές τις εργασίες, έγινε η ανασκαφή έρευνα του χώρου. Ερείπια αρχαίουτερου κτηρίου δεν βρέθηκαν. Αποκαλύφθηκαν όμως σε διάφορα σημεία μαρμάρινα μέλη, που προφανώς ανήκαν στο αρχικό κτίσμα του μαυσαλείου.

Σημειώνεται ότι η αποιστράγιση των νεφρών από το μνημείο ήταν αναγκαία και θετική. Παραπρόμεις όμως δύο οι εργασίες συντήρησης σταμάτησαν εκεί, χωρὶς να επεκταθούν στα διαμορφωμένα δομικά υλικά της ανωδόμης ή στο εσωτερικό του, και συγκεκριμένα στις τοιχογραφίες, οι οποίες χάνονται από την ολεορεία επίδραση που είχε σ' αυτές τη υγρασία.

Προτάσεις

1. Απομάκρυνση των διαλυτών αλάτων που περιέχονται στη λιθόδομη

Κομπρέσες αποινισμένου νερού πρέπει να τοποθετηθούν στην επιφάνεια του τοίχου για την απομάκρυνση των διαλυτών αλάτων που βρίσκονται μέσα στους πόρους ή στις επιφάνειες ασυνέχειας. Τοποθετούνται κομπρέσες αποινισμένου νερού ίδιου βράρους η φλέτα κυτταρίνης πάνω στην επιφάνεια για διάστημα 2 μηνών, οι οποίες στη συνέχεια, αφού απομακρυνθούν, βυθίζονται σε αποινισμένο νερό του οποίου μετριέται η αγωγιμότητα με τη βιοθεία αγωγιμόμετρου.

Επαναλαμβάνουμε έως ότου σταθεροποιηθεί η αγωγιμότητα σε χαμηλά επίπεδα (αγωγιμότητα αποινισμένου νερού 5 $\mu\text{S}/\text{cm}^2$).

Κατόπιν ο λίθος αφήνεται να στεγνώσει. Σημειώνεται ότι, για να αποφευχθεί η γρήγορη εξάτμιση του νερού, τοποθετείται πάνω στις κομπρέσες φύλλο πολυαιθυλενίου. Στις περιοχές που παρουσιάζουν αποσάρωση, για να μην έχουμε απομάκρυνση υλικού πριν από την τοποθέτηση της κομπρέσας, απλώνουμε επάνω στην επιφάνεια φύλλο ουδέτερου χαρτιού. Για την απομάκρυνση των εξανθήσεων των διαλυτών αλάτων από την επιφάνεια πρέπεινται ήπιες και διαδοχικές εκπλύσεις με αποινισμένο νερό και μέτρηση της αγωγιμότητας των εκπλυμάτων. Οταν η αγωγιμότητα σταθεροποιηθεί σε χαμηλά επίπεδα, σταματά και η εφαρμογή της μεθόδου.

2. Απομάκρυνση κηλίδων σκουριάς

Χρήση διαλύματος θειογλυκολικού οξέος (HSCH_2COOH) 5% κ.ό., μετά από εξουδετέρωση με αμμωνία (NH_3). Η δράση του έγκειται στο σχηματισμό σύμπλοκου με το σιδήρο. Χρησιμοποιείται υπό μορφή πάστας, η οποία χρωματίζεται μοβ όταν τοποθετηθεί στο σημείο όπου βρίσκονται οι κηλίδες της σκουριάς. Ο χρωματισμός αυτός οφειλεται στο χρώμα του συμπλοκού. Αφαιρείται η πάστα και ξεπλένεται η περιοχή με άφθονο αποινισμένο νερό. Ένας ελαφρός μοβ χρωματισμός του πέτρινου υλικού φεύγει με τον ήλιο ή με τη χρήση υπεριωδών ακτίνων. Αν

κριθεί αναγκαίο, η διαδικασία επαναλαμβάνεται.

3. Απομάκρυνση μαύρης κρούστας

Χρήση πάστας Mora για την απομάκρυνση της μαύρης κρούστας, Η σύνθεση της πάστας Mora είναι: H_2O (νερό): 100 cc, NH_4HCO_3 (όξεινο ανθρακικό αμμώνιο) και $NaHCO_3$ (όξεινο ανθρακικό νάτριο): 6 gr, E.D.T.A.: 2,5 gr., Desogen: 1 gr., καρβοξυμεθυλοκυαταρίνη: 6 gr, ή χαρτοβάμβακο για τη σχηματισμό πάστας.

Η δράση της οφείλεται στο όξεινο ανθρακικό αμμώνιο και δέρνινο ανθρακικό νάτριο, τα οποία δημιουργούν αλκαλική αντίδραση και διάλυση των αλάτων καθώς και σύγχρονη δέσμευση ιόντων ασβεστίου (Ca^{2+}) με το E.D.T.A. από την κρούστα. Τοποθετείται η πάστα στην περιοχή που υπάρχει μάυρη κρούστα. Όταν η πάστα στεγνώσει, απομακρύνεται εύκολα. Ξεπλένεται η περιοχή με απιονισμένο νερό, τριβούντας ταυτόχρονα με βούρτσα. Η μέθοδος επαναλαμβάνεται έως ότου πετυχούμε τη επιθυμητά αποτελέσματα.

4. Καταπολέμηση μικροχλωρίδας

Χρήση βιοκτόνου, π.χ. Desogen, για την καταπολέμηση της μικροχλωρίδας, το οποίο μπορεί να τοποθετηθεί σαν υλικό καθαρισμού, και απομάκρυνση της επικάθισης με διάλυμα H_2O_2 10-30% κ.ό.).

5. Αντικατάσταση κονιάματων και εφαρμογή ενεμάτων στους αρμόύς

Ένα πολύ κοινό ένεμα αποτελείται από λευκό ταϊμέντο και νερό σε αναλογία (1/1) και χαλαζιακή άμμο ή σκόνη ανθρακικού ασβεστίου ($CaCO_3$). Επίσης προσθέτουμε γλυκονικό νάτριο σε 0,05% του βάρους του λευκού ταϊμέντου, που δρά σαν ρευστοποιητής και μειώνει στο λεάχιστο τη συστολή κατά την πήξη. Η αντικατάσταση των σαθρών κονιάματων γίνεται χρησιμοποιώντας κονιάματα αντίστοιχο ή με καλύτερες ιδιότητες. Προτείνεται κονιάματα που περιέχει λευκό ταϊμέντο/ασβέστη/χαλαζιακή άμμο, σε αναλογία 1/1/2.

6. Στερέωση ρωγμών

Η στερέωση των ρωγμών γίνεται με ήπιο κονιάματα που αποτελείται από λευκό ταϊμέντο/ασβέστη/χαλαζιακή άμμο, σε αναλογία 1/1/2 αντίστοιχα.

7. Στερέωση της μαρμάρινης ισοδομής

Προτείνονται διαδοχικοί ψεκασμοί ή επαλεύμεις ή κομπρέσεσ με κορεσμένο διάλυμα υδροξεδίου του ασβεστίου ($Ca(OH)_2$), το οποίο σχηματίζει αδιάλιπτο ανθρακικό ασβέστιο στην επιφάνεια. Παρασκευάζεται κορεσμένο διάλυμα, το οποίο αφήνεται αρκετές ώρες, για να κατακαθίσει. Μπορεί να χρησιμοποιηθεί ωστόσο και το διαυγές ασβεστόνερο ή το γάλα ασβέστη. Για καλύτερα αποτελέσματα, μέσα στο διάλυμα προσθέτουμε λίγο ανθρακικό ασβέστιο.

8. Τοποθέτηση έξιντων πλαισίου στους φεγγίτες με λεπτή σίτα, ώστε να εμποδίσει την είσοδος σκουπιδών στο εσωτερικό του μνημείου.

9. Συντήρηση των τοιχογραφιών και της έξιντης εικόνας μετά από ειδική μελέτη.

and marbles of the ancient monuments and statues. I. Observations in situ (Acropolis) and laboratory measurements». Br. Corr. J. 16, No 2, p. 63, 1981.

10. Th. Skoulikidis, D. Charalambous, «Mechanism of sulfation by atmospheric SO_2 of the limestones and marbles of the ancient monuments and statues. - II. Hypothesis concerning the rate determining step in the process of sulfation, and its experimental confirmation». Br Corr. J. 16, No 2, p. 69, 1981.

11. Διάδρωση και Συντήρηση της Πέτρας. B. N. Lampropoulos, Αθήνα 1992.

12. B. Μαντή, Γ. Μανιάτη, Σμερναίος, Εργαστήριο Αρχαιομετρίας - Ινστιτούτο Επιστήμης Υλών. Ε.Κ.Ε.Φ.Ε. Δημόκριτος.

13. K.A. Δεμήτη, Τεχνική Γεωλογία, Μέρος Α', Γεωλογικοί Μετασχηματισμοί, Εκδ. University Studio Press.

14. Moebius Hans, Attische Architekturstudien AM 52 (1927).

15. G. Amoroso, V. Fassina, Stone decay and conservation. Ed. Elsevier, 1983.

16. L. Lazzarini, M.L. Tabasso, Il restauro della pietra. Ed. C.E.D.A.M. Padova 1986.

17. Δελτίο συντήρησης. Εφορεία Βυζαντινών Αρχαιοτήτων Α' Περιφέρειας.

The Chapel of Panaya Marmariotissa, a Former Roman Mausoleum

V. Lambropoulos - A. Panou - Ch. Panayoulopoulos

The chapel of Panaya Marmariotissa lies behind the sanctuary of the present big homonymous church at Chalandri, a suburb of Athens. This building was originally a Roman Mausoleum, which was later, unknown when, converted into a Christian church by the followers of the new faith.

During the Roman period Philya, the present Chalandri, was one of the so-called "minor" demoi of Attica, which the ancient traveller Pausanias clearly distinguished from the "major" ones of Athens, Eleusis, etc. The rich, powerful Greek or Roman families, who controlled the economy and administration of the region, used to build imposing Mausolea as individual or family tombs. The small chapel of Panaya Marmariotissa used to be such a Mausoleum.

Βιβλιογραφία

1. Δραγάτης, «Τάφος θωλώτος και άλλα αρχαιότητες εν Χαλανδρίῳ», Αρχ. Εφ., 1925-26.
2. Πετροπολάκου Μ. - Πεντάζος Ε., «Αττική, οικιστικά στοιχεία», Πρώτη έκδοση, Αθήνα 1973.
3. Παπαχατζής Ν., Παυσανίου Ελλάδος Περιήγησης, Βιβλίο Α', Αθήνα 1974.
4. Πάλλας, «Οι Χριστιανοί καμαρωτοί τάφοι, καταγωγή και λατρευτικά ίδεα», Αρχ. Εφ., 1937.
5. Λουκάς Ι., Η Ρέα Κυβέλη και οι γονυμικοί λατρείες της Φλώρας, 1988.
6. Αρχαιολογικό Δελτίο 27: 1972 Β', Χρονικά.
7. Μετρήσεις απομαφαιρήσεως ρύπανσης στην περιοχή της Αθήνας, Ε.Π.Ε.Ρ.Π.Α., Νοέμβριος 1988.
8. Η απομαφαιρήσεως στην περιοχή της Αθήνας, Τεχνική έκθεση, Τόμοι 1, 2, 3, 4, Ε.Π.Ε.Ρ.Π.Α. Σεπτέμβριος 1989.
9. Th. Skoulikidis, P. Papakonstantinou - Ziotis, «Mechanism of sulfation of the limestones and marbles of the ancient monuments and statues. I. Observations in situ (Acropolis) and laboratory measurements». Br. Corr. J. 16, No 2, p. 63, 1981.
10. Th. Skoulikidis, D. Charalambous, «Mechanism of sulfation by atmospheric SO_2 of the limestones and marbles of the ancient monuments and statues. - II. Hypothesis concerning the rate determining step in the process of sulfation, and its experimental confirmation». Br Corr. J. 16, No 2, p. 69, 1981.
11. Διάδρωση και Συντήρηση της Πέτρας. B. N. Lampropoulos, Αθήνα 1992.
12. B. Μαντή, Γ. Μανιάτη, Σμερναίος, Εργαστήριο Αρχαιομετρίας - Ινστιτούτο Επιστήμης Υλών. Ε.Κ.Ε.Φ.Ε. Δημόκριτος.
13. K.A. Δεμήτη, Τεχνική Γεωλογία, Μέρος Α', Γεωλογικοί Μετασχηματισμοί, Εκδ. University Studio Press.
14. Moebius Hans, Attische Architekturstudien AM 52 (1927).
15. G. Amoroso, V. Fassina, Stone decay and conservation. Ed. Elsevier, 1983.
16. L. Lazzarini, M.L. Tabasso, Il restauro della pietra. Ed. C.E.D.A.M. Padova 1986.
17. Δελτίο συντήρησης. Εφορεία Βυζαντινών Αρχαιοτήτων Α' Περιφέρειας.